



# Introdução ao Método de Elementos Finitos

## Parte III

Isaac P. Santos

Universidade Federal do Espírito Santo - UFES

18 a 22 de fevereiro de 2018

# Sumário

- ▶ Introdução
- ▶ Interpolação unidimensional
- ▶ Método de elementos finitos unidimensional
- ▶ Interpolação bidimensional
- ▶ Método de elementos finitos bidimensional

## Pré-requisitos

- ▶ Cálculo diferencial e integral
- ▶ Álgebra linear
- ▶ Programação
- ▶ Noções de equações diferenciais

Nível de graduação!

## Aproximação Polinomial Por Partes Bidimensional

Neste capítulo estendemos o conceito de aproximação polinomial por partes para duas dimensões. A ideia básica é construir espaços de funções polinomiais por partes, uma vez que essas funções são fáceis de serem manipuladas computacionalmente e podem ser usadas para aproximar outros tipos de funções.

Uma dificuldade com a construção de polinômios por partes em dimensão 2 ou 3 é que primeiramente o domínio precisa ser particionado (discretizado) em elementos, tais como triângulos, e isso pode ser uma tarefa não trivial se o domínio tiver uma forma complexa.

## Triangulações

Seja  $\Omega \subset \mathbb{R}^2$  um domínio limitado com fronteira poligonal, denotada por  $\partial\Omega$ . Uma triangulação (também chamada de partição, malha ou *grid*)  $\mathcal{T}_h$  de  $\Omega$  é um conjunto

$$\mathcal{T}_h = \{T_1, T_2, \dots, T_{nel}\},$$

de triângulos (ou quadriláteros)  $T_e$ ,  $e = 1, \dots, nel$ , onde  $nel$  é o número de elementos (triângulos ou quadriláteros).

Uma triangulação é chamada de *conforme* se

$$\overline{\Omega} = \bigcup_{e=1}^{nel} T_e,$$

onde  $\overline{\Omega}$  é o fecho de  $\Omega$ , isto é,  $\overline{\Omega} = \Omega \cup \partial\Omega$ . Além disso,

- ▶  $\mathring{T} \neq \emptyset$ ,  $\forall T \in \mathcal{T}_h$ , onde  $\mathring{T}$  é o interior de  $T$ ;
- ▶  $\mathring{T}_i \cap \mathring{T}_j = \emptyset$  para todo  $i \neq j$ ;
- ▶ Se  $F = T_i \cap T_j \neq \emptyset$ , com  $i \neq j$ , então  $F$  é um aresta ou um vértice.

Denotamos por  $h_T$  o diâmetro de  $T \in \mathcal{T}_h$  (ou o maior lado do triângulo  $T$ ) e

$$h = \max_{T \in \mathcal{T}_h} h_T.$$

## Geradores de Malhas

- ▶ EasyMesh (e ShowMesh - para visualização);
- ▶ GMSH;
- ▶ gerador do MATLAB (PDE-Tool);
- ▶ gerador da LIBMESH (biblioteca - solução numérica de EDPs);
- ▶ etc.

## Estruturas de dados para representação de uma malha

Para uma malha com  $n_{nos}$  nós e  $nel$  elementos (triângulos) pode-se utilizar duas estruturas de dados (matrizes):

- ▶ *COORD: matriz coordenada* - matriz que armazena as coordenadas  $(x, y)$  dos pontos nodais da malha. Sua dimensão é  $n_{nos} \times 2$  ou  $2 \times n_{nos}$ ;
- ▶ *IEN: matriz de conectividade* - matriz que associa a cada elemento seus vértices globais. Sua dimensão é  $nel \times 3$  ou  $3 \times nel$ . A enumeração dos nós é feita no sentido anti-horário.

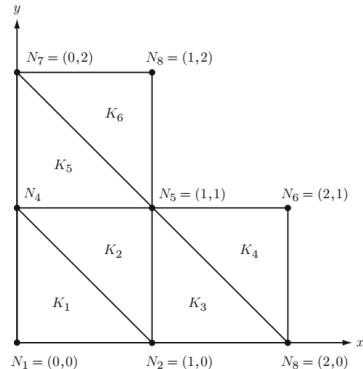


Figure: Malha triangular com elementos  $K_1, \dots, K_6$ .

Determine as matrizes COORD e IEN para essa malha.

## O espaço das funções polinomiais (lineares) em um elemento triangular

Seja  $T$  um triângulo e  $\mathbb{P}_1(T)$  o espaço das funções lineares em  $T$ , definido por

$$\mathbb{P}_1(T) = \{v; \quad v = v(x, y) = c_0 + c_1x + c_2y, \quad (x, y) \in T, \quad c_0, c_1, c_2 \in \mathbb{R}\}. \quad (1)$$

Esse espaço contém todas as funções da forma

$$v(x, y) = c_0 + c_1x + c_2y,$$

que representa um plano definido em  $T$ .

Qualquer função  $v \in \mathbb{P}_1(T)$  é determinada de forma única por seus valores nodais

$$\alpha_i = v(N_i), \quad i = 1, 2, 3,$$

onde  $N_i = (x_i, y_i)$  são as coordenadas dos vértices de  $T$ .

As constantes  $c_0$ ,  $c_1$  e  $c_2$  são determinadas fazendo

$$\begin{aligned}\alpha_1 &= v(x_1, y_1) = c_0 + c_1 x_1 + c_2 y_1; \\ \alpha_2 &= v(x_2, y_2) = c_0 + c_1 x_2 + c_2 y_2; \\ \alpha_3 &= v(x_3, y_3) = c_0 + c_1 x_3 + c_2 y_3\end{aligned}$$

ou

$$\begin{bmatrix} 1 & x_1 & y_1 \\ 1 & x_2 & y_2 \\ 1 & x_3 & y_3 \end{bmatrix} \begin{bmatrix} c_0 \\ c_1 \\ c_2 \end{bmatrix} = \begin{bmatrix} \alpha_1 \\ \alpha_2 \\ \alpha_3 \end{bmatrix}. \quad (2)$$

A matriz desse sistema é chamada de matriz de *Vandermonde*. Como seu determinante é igual ao dobro da área do triângulo  $T$ , esse sistema tem solução única. Qualquer função  $v \in \mathbb{P}_1(T)$  que se conheça seus valores nodais pode ser obtida pela solução do sistema (2).

Dizemos que as funções  $v \in \mathbb{P}_1(T)$  são descritas através da base usual de  $\mathbb{P}_1(T)$ , dada por  $\{1, x, y\}$ .

Note que  $\dim \mathbb{P}_1(T) = 3$ .

A base nodal

$$\{\lambda_1(x, y), \lambda_2(x, y), \lambda_3(x, y)\}$$

de  $\mathbb{P}_1(T)$  será determinada a seguir.

Resolvendo o sistema (2) obtém-se

$$\begin{aligned}
 c_0 &= \frac{1}{2A^e} \left[ \alpha_1(x_2y_3 - x_3y_2) + \alpha_2(x_3y_1 - x_1y_3) + \alpha_3(x_1y_2 - x_2y_1) \right]; \\
 c_1 &= \frac{1}{2A^e} \left[ \alpha_1(y_2 - y_3) + \alpha_2(y_3 - y_1) + \alpha_3(y_1 - y_2) \right]; \\
 c_2 &= \frac{1}{2A^e} \left[ \alpha_1(x_3 - x_2) + \alpha_2(x_1 - x_3) + \alpha_3(x_2 - x_1) \right],
 \end{aligned}$$

onde  $A^e$  é a área do elemento (triângulo)  $T$ , dada por

$$A^e = \frac{1}{2} \det \begin{bmatrix} 1 & x_1 & y_1 \\ 1 & x_2 & y_2 \\ 1 & x_3 & y_3 \end{bmatrix} = \frac{1}{2} \left[ (x_1y_2 - x_2y_1) + (x_3y_1 - x_1y_3) + (x_2y_3 - x_3y_2) \right].$$

Substituindo  $c_0$ ,  $c_1$  e  $c_2$  na expressão para  $v$ , resulta em

$$v(x, y) = \alpha_1 \lambda_1(x, y) + \alpha_2 \lambda_2(x, y) + \alpha_3 \lambda_3(x, y),$$

onde  $\alpha_i = v(x_i, y_i)$ ,  $i = 1, 2, 3$  e

$$\lambda_1(x, y) = \frac{1}{2A^e} \left[ (x_2 y_3 - x_3 y_2) + (y_2 - y_1)x + (x_3 - x_2)y \right];$$

$$\lambda_2(x, y) = \frac{1}{2A^e} \left[ (x_3 y_1 - x_1 y_3) + (y_3 - y_1)x + (x_1 - x_3)y \right];$$

$$\lambda_3(x, y) = \frac{1}{2A^e} \left[ (x_1 y_2 - x_2 y_1) + (y_1 - y_2)x + (x_2 - x_1)y \right]$$

são as funções que formam a base nodal do espaço  $\mathbb{P}_1(T)$ .

Essas funções satisfazem

$$\lambda_i(N_j) = \delta_{ij} = \begin{cases} 1, & i = j; \\ 0, & i \neq j \end{cases} \quad (3)$$

e podem ser reescritas como

$$\begin{aligned} \lambda_1(x, y) &= \frac{1}{2A^e} [a_1 + b_1x + c_1y]; \\ \lambda_2(x, y) &= \frac{1}{2A^e} [a_2 + b_2x + c_2y]; \\ \lambda_3(x, y) &= \frac{1}{2A^e} [a_3 + b_3x + c_3y], \end{aligned} \quad (4)$$

onde

$$a_1 = x_2y_3 - x_3y_2 \quad b_1 = y_2 - y_3 \quad c_1 = x_3 - x_2;$$

$$a_2 = x_3y_1 - x_1y_3 \quad b_2 = y_3 - y_1 \quad c_2 = x_1 - x_3;$$

$$a_3 = x_1y_2 - x_2y_1 \quad b_3 = y_1 - y_2 \quad c_3 = x_2 - x_1.$$

## Elemento de referência

O elemento de referência  $\bar{T}$  é o triângulo com pontos nodais  $N_1 = (0, 0)$ ,  $N_2 = (1, 0)$  e  $N_3 = (0, 1)$ . A área desse triângulo é  $1/2$  e a base nodal de  $\mathbb{P}_1(\bar{T})$  é dada pelas funções

$$\begin{aligned}\lambda_1(x, y) &= 1 - x - y; \\ \lambda_2(x, y) &= x; \\ \lambda_3(x, y) &= y.\end{aligned}\tag{5}$$

## Interpolação linear em um triângulo

Considere o problema de aproximar funções em um triângulo  $T$ . Dado uma função contínua  $f$  sobre  $T$  com vértices (nós)  $N_1, N_2$  e  $N_3$ , a interpolante linear  $\pi f \in \mathbb{P}_1(T)$  de  $f$  é definida por

$$\pi f(x, y) = \sum_{i=1}^3 f(N_i) \lambda_i(x, y), \quad (6)$$

onde o conjunto  $\{\lambda_1(x, y), \lambda_2(x, y), \lambda_3(x, y)\}$  forma a base nodal de  $\mathbb{P}_1(T)$ .

A interpolante  $\pi f \in \mathbb{P}_1(T)$  é um plano, que coincide com  $f$  nos três pontos nodais. De fato,

$$\pi f(N_i) = f(N_i)$$

para todo  $i = 1, 2, 3$ .

## Estimativa de Erro

Para estimarmos o erro de interpolação  $f - \pi f$  em alguma norma específica precisamos introduzir algumas notações e definições.

### Definição (espaço $H^1(\Omega)$ )

Seja  $\Omega$  um subconjunto aberto de  $\mathbb{R}^2$ . Define-se o espaço de Hilbert

$$H^1(\Omega) = \left\{ v : \Omega \rightarrow \mathbb{R}; \quad v, \frac{\partial v}{\partial x}, \frac{\partial v}{\partial y} \in L^2(\Omega) \right\}.$$

Note que  $H^1(\Omega)$  é o espaço formado por funções que estão em  $L^2(\Omega)$  de forma que suas derivadas parciais (no sentido generalizado) também estão em  $L^2(\Omega)$ .

Um produto interno em  $H^1(\Omega)$  é definido por

$$(u, v)_{H^1(\Omega)} = (u, v)_{L^2(\Omega)} + (\nabla u, \nabla v)_{L^2(\Omega)}, \quad (7)$$

isto é,

$$\begin{aligned} (u, v)_{H^1(\Omega)} &= \int_{\Omega} u(x, y)v(x, y)d\Omega + \int_{\Omega} \nabla u \cdot \nabla v d\Omega \\ &= \int_{\Omega} u(x, y)v(x, y)d\Omega + \int_{\Omega} \left( \frac{\partial u}{\partial x} \frac{\partial v}{\partial x} + \frac{\partial u}{\partial y} \frac{\partial v}{\partial y} \right) d\Omega. \end{aligned}$$

A norma induzida pelo produto interno é dada por

$$\|u\|_{H^1(\Omega)} = \sqrt{(u, u)_{H^1(\Omega)}} = \sqrt{\|u\|_{L^2(\Omega)}^2 + \|\nabla u\|_{L^2(\Omega)}^2}. \quad (8)$$

Definição (espaço  $H^2(\Omega)$ )

Seja  $\Omega$  um subconjunto aberto de  $\mathbb{R}^2$ . Define-se o espaço de Hilbert

$$H^2(\Omega) = \left\{ v : \Omega \rightarrow \mathbb{R}; \quad v, \frac{\partial v}{\partial x}, \frac{\partial v}{\partial y}, \frac{\partial^2 v}{\partial x^2}, \frac{\partial^2 v}{\partial y^2}, \frac{\partial^2 v}{\partial x \partial y} \in L^2(\Omega) \right\}.$$

Observe que  $H^2(\Omega)$  é o espaço formado por funções que estão em  $L^2(\Omega)$  de forma que suas derivadas parciais (no sentido generalizado) até 2a ordem também estão em  $L^2(\Omega)$ . Um produto interno em  $H^1(\Omega)$  é definido por A norma de  $H^2(\Omega)$  é dada por

$$\|u\|_{H^2(\Omega)} = \sqrt{\|u\|_{H^1(\Omega)}^2 + \|D^2u\|_{L^2(\Omega)}^2}, \quad (9)$$

onde

$$\|D^2u\|_{L^2(\Omega)}^2 = \int_{\Omega} \left[ \left( \frac{\partial^2 v}{\partial x^2} \right)^2 + \left( \frac{\partial^2 v}{\partial x \partial y} \right)^2 + \left( \frac{\partial^2 v}{\partial y^2} \right)^2 \right].$$

## Estimativa para o erro da interpolante

### Proposição

*A interpolante  $\pi f$  satisfaz as estimativas*

$$\|f - \pi f\|_{L^2(T)} \leq Ch_T^2 \|D^2 u\|_{L^2(T)} \quad (10)$$

$$\|\nabla(f - \pi f)\|_{L^2(T)} \leq Ch_T \|D^2 u\|_{L^2(T)} \quad (11)$$

## Interpolação contínua e linear por partes - em 2D

O conceito de interpolação contínua e linear por partes é facilmente estendida de uma dimensão para duas ou três dimensões.

Seja  $f : \Omega \rightarrow \mathbb{R}$  uma função contínua e considere uma malha  $\mathcal{T}_h$  sobre  $\Omega$ . Define-se também o espaço das funções contínuas e lineares por partes sobre  $\Omega$

$$V_h = \{v \in C^0(\Omega) : v|_T \in \mathbb{P}_1(T), \forall T \in \mathcal{T}_h\}.$$

A interpolante de  $f$ , denotada por  $\pi f \in V_h$ , é dada por

$$\pi f(x, y) = \sum_{i=1}^{nnos} f(N_i) \varphi_i(x, y), \quad (12)$$

onde  $N_1, \dots, N_{nnos}$  são os  $nnos$  pontos nodais e  $\{\varphi_1(x, y), \dots, \varphi_{nnos}(x, y)\}$  é a base nodal de  $V_h$ .

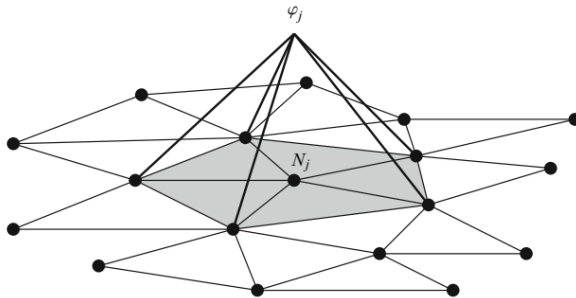


Figure: Função chapéu  $\varphi_i$  em 2D.

## Estimativa de Erro

### Proposição

*A interpolante  $\pi f$  satisfaz as seguintes estimativas:*

$$\|f - \pi f\|_{L^2(\Omega)}^2 \leq C \sum_{T \in \mathcal{T}_h} h_T^4 \|D^2 u\|_{L^2(T)}^2 \quad (13)$$

$$\|\nabla(f - \pi f)\|_{L^2(\Omega)}^2 \leq Ch_T^2 \|D^2 u\|_{L^2(T)}^2. \quad (14)$$

## Bibliografia Básica

- ▶ Mats G. Larson and Fredrik Bengzon. The Finite Element Method: Theory, Implementation and Applications. Springer, 2013.
- ▶ Alfio Quarteroni. Numerical Models For Differential Problems. Springer, 2009.

# Muito obrigado!

